

### 11.1 多価関数の分枝と分岐点

関数  $w = f(z)$ において、 $z$  の 1 つの値に対し  $w$  の値が複数個存在する場合、 $w$  を  $z$  の多価関数とよぶ。

多価関数の例として関数  $w = z^{1/2}$  を考える。この場合  $z = re^{i\theta}$  ( $0 \leq \theta \leq 2\pi$ ) に対して 2 つの異なる関数値  $w_1, w_2$

$$w_1 = r^{1/2} e^{i\theta/2}, w_2 = r^{1/2} e^{i(\theta/2+\pi)}$$

が対応する。これより  $w = z^{1/2}$  は  $z$  の 2 価関数であることがわかる。この  $w_1, w_2$  を、 $w = z^{1/2}$  の分枝 (ぶんし) と呼ぶ。

(1) 次の関数の分枝を求めよ。ただし  $a, b \in \mathbf{R}$  とする。

$$\begin{array}{lll} \text{(i)} & w = z^{1/3} & \text{(ii)} & w = (z - 1)^{1/2} & \text{(iii)} & w = \sqrt{(z - a)(z - b)} \\ & w = \log z & & & & \text{(iv)} \end{array}$$

さらに  $w = z^{1/2}$  を例に話を進める。 $z$  平面上で与えられた点 P から出発し、原点を反時計周りに 1 周して元の点 P に戻ると  $z$  の偏角は  $2\pi$  増える。このとき各分枝の偏角は  $\pi$  増えるので、 $w_1$  は  $w_2$  に、 $w_2$  は  $w_1$  に移る。一般に  $z$  平面上のある点を 1 周することによりある分枝から別の分枝へ移ると、この点を分岐点 (ぶんきてん) と呼ぶ。 $z = 0$  は  $w = z^{1/2}$  の分岐点である。

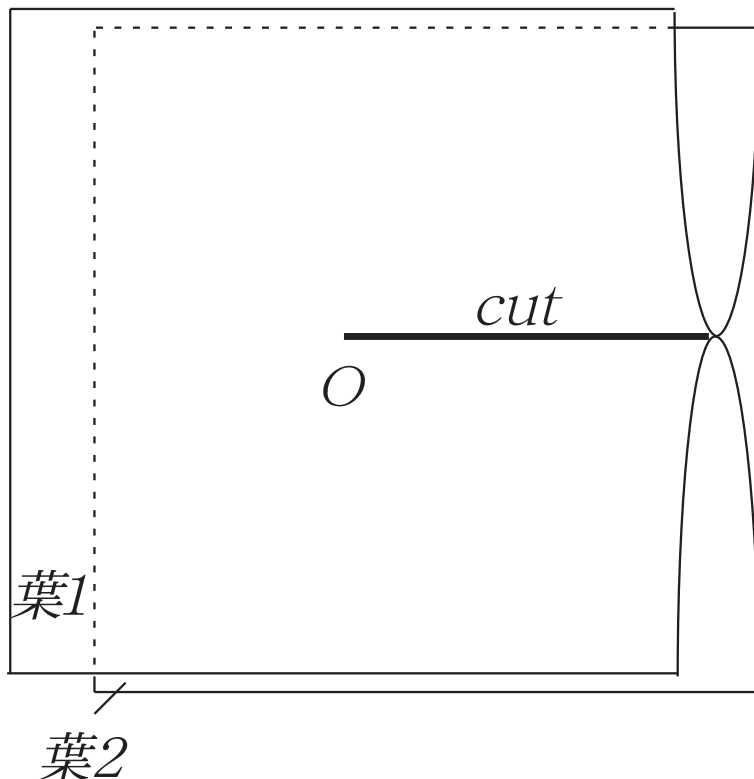
$z = \infty$  (無限遠点) も  $w = z^{1/2}$  の分岐点である。これは原点を 1 周することが無限遠点の周りを 1 周することにもなっているからである。一般に十分半径の大きな円周を 1 回転することで別の分枝へ移ると、無限遠点は分岐点である。

分岐点を  $n$  周して最初の分枝に戻る時、その分岐点を  $n - 1$  位の分岐点と呼ぶ。 $w = z^{1/2}$  の例では  $z = 0, \infty$  は共に 1 位の分岐点である。 $n$  が有限の分岐点は代数的分岐点、無限大の分岐点は対数的分岐点と呼ばれる。

(2) (1) の i) ~ iv) の関数の分岐点を求めよ。それぞれ何位の分岐点か。

## 11.2 リーマン面

$z$  平面を複数枚，分枝の数だけ用意し，1枚1枚の  $z$  平面上の点はそれぞれ相異なる1つの分枝に写像されるものとする。また各平面には切れ目が入っており，切れ目を介して他の面へ連続的に乗り移れるものとする。このように複数枚の  $z$  平面をつなぎ合わせた平面を Riemann 面という。このとき Riemann 面上の点と関数値とは1対1対応する。切れ目は切断(cut)と呼び，おののの  $z$  平面を葉(よう)という。



再び  $w = z^{1/2}$  を例に取って Riemann 面の作り方を説明する。この場合分枝は2つあるので  $z$  平面を2枚用意する。葉1では  $w_1$  へ写像され，葉2では  $w_2$  へ写像される。切れ目は分岐点を繋ぐようにいれる。ただし繋ぎ方は一意ではなく任意性がある。この場合  $z = 0, \infty$  が分岐点だった。そこで実軸の正の部分  $x > 0$  を切断に選ぶ。葉1上にあった点を原点の周りに反時計周りに動かす。このとき最初に切断をまたぐときは葉2へ移り，次に切断をまたぐ時は葉1に移ると約束する。結局原点を2周してもとの点に帰ることになる。

### 11.3 多価関数の積分

次の積分を求めよ.

$$(1) \int_a^b \frac{1}{\sqrt{(x-a)(b-x)}} dx \quad (a, b \in \mathbf{R}, b > a)$$

$$(2) \int_0^\infty \frac{x^{a-1}}{1+x} dx \quad (0 < a < 1)$$

### 11.4 等角写像

$t \in \mathbf{R}, \alpha \leq t \leq \beta$  の変数  $t$  に対し,  $z = \varphi(t)$  は微分可能とし, その導関数  $\varphi'(t)$  は連続でかつ 0 にならないと仮定する. このとき

$$z = \varphi(t) = x(t) + iy(t), \quad t \in [\alpha, \beta]$$

は  $z$  平面上のなめらかな曲線  $C$  となる.  $z$  の  $t$  に対する微分

$$\frac{dz}{dt} = \varphi'(t) = a(t)e^{i\theta(t)}$$

は  $C$  の接線ベクトルを表し,

$$\arg \varphi'(t)$$

は接線の傾きを表す.

$z$  平面上の点から  $w$  平面上への写像  $w = f(z)$  を考える.  $f(z)$  が  $z$  平面内の  $D$  上で正則とし, 曲線  $C$  が  $D$  に含まれるとき,

$$w = f(\varphi(t)), \quad t \in [\alpha, \beta]$$

は  $w$  平面上のなめらかな曲線  $\Gamma$  を与える. このとき  $w_0 = f(\varphi(t_0))$  における  $\Gamma$  の傾きは

$$\arg w'(t_0) = \arg f'(z_0) + \arg \varphi'(t_0)$$

となる.

- (1) 点  $z_0$  を通る 2 つの曲線  $C_1, C_2$  が  $\varphi_1(t), \varphi_2(t)$  で表され,  $f(z)$  によるそれらの像  $\Gamma_1, \Gamma_2$  は  $w_1(t), w_2(t)$  で表されるとする.  $\Gamma_1, \Gamma_2$  の交点  $w_0 = f(z_0)$  において  $\Gamma_2$  の接線と  $\Gamma_1$  の接線とのなす角  $\Delta\theta$  は

$$\Delta\theta = \arg w'_2(t_0) - \arg w'_1(t_0) = \arg \varphi'_2(t_0) - \arg \varphi'_1(t_0)$$

と表されることを示せ.

- (2)  $z$  平面上の点  $z_0, z_1, z_2$  によって作られる三角形と, それらの点の  $f(z) = u(x, y) + iv(x, y)$  による像  $w_0, w_1, w_2$  によって作られる三角形は相似であること, およびそれらの三角形の面積比は

$$|f'(z)|^2 = \frac{\partial(u, v)}{\partial(x, y)}$$

で与えられることを示せ.

- (3) (1) の  $\Gamma_1, \Gamma_2$  の交点を与える  $z_0$  において  $f'(z_0) = 0$  となり,  $n$  階導関数  $f^{(n)}(z_0)$  が最初に 0 でない導関数とする. このとき  $\Gamma_2$  の接線と  $\Gamma_1$  の接線とのなす角は  $C_2$  の接線と  $C_1$  の接線とのなす角の  $n$  倍となることを示せ.

- (4)  $w = \frac{az + b}{cz + d}$  はどのような写像の組合せであるか.

## 11.5 複素速度ポテンシャル

摩擦や外力の働いていない 2 次元非圧縮性流体の運動は、以下の式によって記述される。

$$\frac{\partial u}{\partial t} + u \frac{\partial u}{\partial x} + v \frac{\partial u}{\partial y} = -\frac{1}{\rho} \frac{\partial p}{\partial x}, \quad (11.1)$$

$$\frac{\partial v}{\partial t} + u \frac{\partial v}{\partial x} + v \frac{\partial v}{\partial y} = -\frac{1}{\rho} \frac{\partial p}{\partial y}, \quad (11.2)$$

$$\frac{\partial u}{\partial x} + \frac{\partial v}{\partial y} = 0. \quad (11.3)$$

ここで  $u, v$  は速度成分、 $\rho$  は密度、 $p$  は圧力である。以下では流れが時間に依らない定常な流れについて考える。

(1) (11.3) が満たされることから、

$$u = \frac{\partial \psi}{\partial y}, \quad v = -\frac{\partial \psi}{\partial x}$$

を満たす関数  $\psi$  を導入できることを示せ（ヒント：「平面におけるグリーンの定理」を利用する）。

(2) 渦無しの流れの場合、

$$u = \frac{\partial \phi}{\partial x}, \quad v = \frac{\partial \phi}{\partial y}$$

と満たす関数  $\phi$  を導入できることを示せ（ヒント：渦無し場の「スカラーポテンシャル」を考える）。

(3) 上記の  $\psi, \phi$  は、コーシー・リーマンの関係式を満たすことを確かめよ。

(3) より関数

$$f(z) = \phi(x, y) + i\psi(x, y)$$

は正則な複素関数を表す。この導関数

$$\frac{df(z)}{dz} = \frac{\partial \phi(x, y)}{\partial x} + i \frac{\partial \psi(x, y)}{\partial x} = u - iv$$

は複素速度と呼ばれる。この意味で  $f(z)$  は複素速度ポテンシャルと呼ばれる。以上より、任意の正則関数はとある非圧縮で渦無しの 2 次元流れを表すことがわかる。

(4)  $f(z) = Uz$  ( $U \in \mathbf{R}$ ) は  $x$  方向に一様な流れを表すことを示せ。

(5)  $f(z) = U \left( z + \frac{a^2}{z} \right)$  ( $U, a \in \mathbf{R}$ ) は  $xy$  面に垂直な半径  $a$  の円筒を横切る流れを表すことを示せ。